

# СОПРОТИВЛЕНИЕ СВЯЗИ ИЗОГНУТОГО ВОЛНОВОДА, НАГРУЖЕННОГО ГРЕБЕНЧАТОЙ ЗАМЕДЛЯЮЩЕЙ СТРУКТУРОЙ

Ю. А. Дейнека

## ВВЕДЕНИЕ

В настоящее время проявляется определенный интерес к равномерно изогнутым замедляющим системам в связи с возможным применением их в технике ускорения элементарных частиц, в различных типах генераторов СВЧ [1]. Так, в работе [2] исследуется распространение азимутальных электромагнитных волн между двумя неограниченными в аксиальном направлении цилиндрическими поверхностями, покрытыми слоем диэлектрика или нагруженными металлическими диафрагмами. В работе [3] рассмотрены изогнутые линии передач поверхностных волн, а именно: диэлектрический волновод, линия с диэлектрическим покрытием, ребристые структуры.

Результаты данной работы посвящены, в основном, применению таких систем в качестве линии передач. В статье [4] рассматриваются некоторые вопросы распространения азимутальных волн в диафрагмированном волноводе с фазовой скоростью, равной скорости света. Краткий перечень работ, посвященных исследованию изогнутых замедляющих систем, показывает, что в основном исследовались замедляющие системы как линии передач, либо их дисперсионные характеристики, либо возможности применения замедляющих систем в технике ускорения элементарных частиц. Однако, не меньший интерес представляет исследование влияния изгиба на энергетический параметр замедляющей системы — сопротивление связи  $R_{св}$ .

## Сопротивление связи прямого волновода

Сопротивление связи будем определять для волны типа  $LE_{11}$ , так как синфазные волны типа  $LE$  и  $LM$  являются единственно возможными волнами для волновода, нагруженного периодическими структурами [5]. Схема и обозначение для такого волновода показаны на рис. 1. Представляя для синфазной волны магнитный вектор Герца в виде

$$\Pi_z = A \operatorname{sh} \rho x e^{jny} \sin \gamma z, \quad (1)$$

можно с помощью уравнений Максвелла найти составляющие поля волны.

Сопротивление связи будем определять, используя выражение, данное в работе [7]:

$$R_{св} = \frac{E_y E_y^*}{2h^2 P}, \quad (2)$$

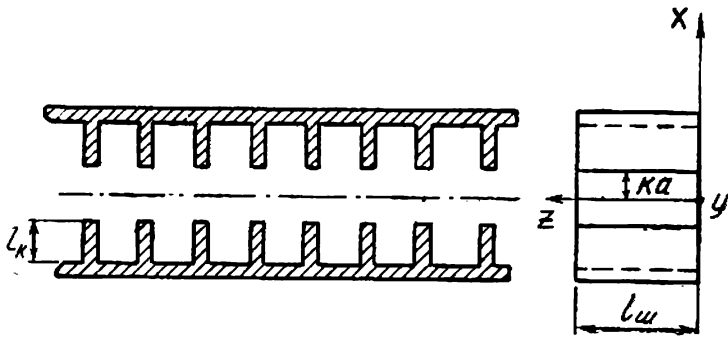


Рис. 1.

где  $P$  — средний за период поток энергии через поперечное сечение волновода, равный

$$P = \int_s \frac{E_x H_z^*}{2} ds.$$

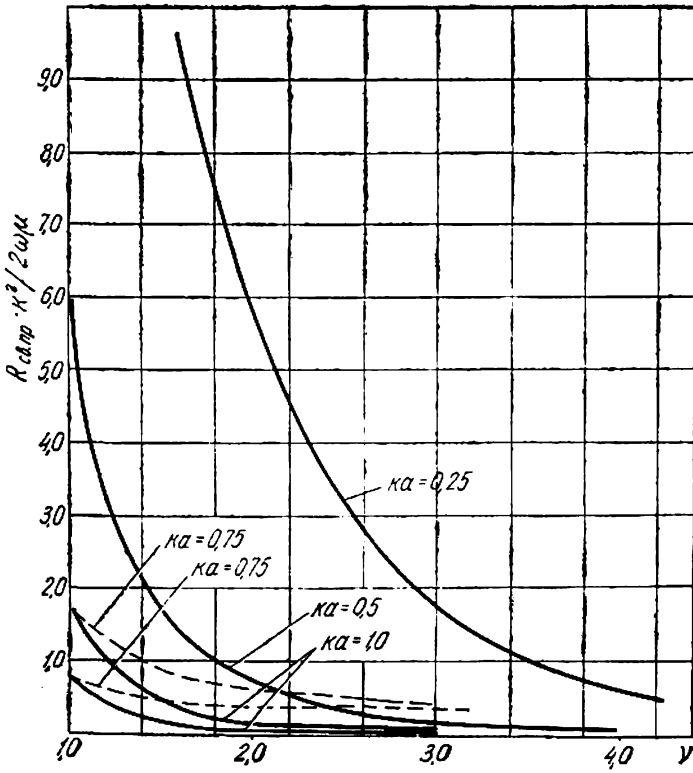


Рис. 2.

Коэффициент  $h$  — постоянная распространения вдоль оси  $y$ . Подставляя значения составляющих полей в формулу (2), получим выражение  $R_{св}$  для волновода, нагруженного однородной гребенкой:

$$R_{св} = \frac{2\omega\mu (\nu^2 - 1)^{3/2} \text{ch}^2 \kappa x \sqrt{\nu^2 - 1}}{\nu^2 \kappa^2 \frac{l_{ш}}{2} [\text{sh} 2\kappa a \sqrt{\nu^2 - 1} - 2\kappa a \sqrt{\nu^2 - 1}]} . \quad (3)$$

В формуле (3) даны следующие обозначения:  $\nu = \frac{h}{x}$  — замедление фазовой скорости;  $\kappa = \sqrt{k^2 - \gamma^2}$ , где  $k = \frac{2\pi}{\lambda}$  — волновой коэффициент,  $\gamma = \frac{\pi}{l_{ш}}$  — коэффициент распространения между боковыми стенками.

Согласно формуле (3), на рис. 2 даны графики, показывающие изменение  $R_{св}$  в зависимости от высоты волновода и величины замедления  $\nu$ . Для упрощения расчетов здесь и в дальнейшем будем считать  $l_{ш} = \infty$ , а  $\nu = \frac{h}{k}$ , т. е. рассматривать волновод без боковых стенок. Как видно из графиков, с увеличением  $\nu$  уменьшается  $R_{св}$ . При одинаковых  $\nu$   $R_{св}$  больше у волноводов с меньшей высотой.  $R_{св}$  определялось в центре волновода (сплошные кривые). У поверхности гребенки  $R_{св}$  значительно больше (пунктирные кривые). Такой характер зависимости  $R_{св}$  от  $\nu$  и  $ka$  объясняется различной степенью прижатия поля при изменении этих параметров [3].

### Сопrotивление связи изогнутого волновода

Схема такого волновода и связанные с ней обозначения даны на рис. 3. Сопrotивление связи  $n$ -ой гармоники можно определить как

$$R_{св} = \frac{E_{\theta n} E_{\theta n}^*}{2 \left(\frac{p}{r}\right)^2 P_{\Sigma}} , \quad (4)$$

где  $E_{\theta n}$  — составляющая поля  $n$ -ой гармоники в азимутальном направлении;

$P_{\Sigma}$  — суммарная мощность всех гармоник.

Для случая волновода, нагруженного периодическими структурами, магнитный вектор  $\Pi_z$  можно представить в виде

$$\Pi_z = \sum_{n=-\infty}^{n=+\infty} [A_n J_{\rho n}(xr) + B_n N_{\rho n}(xr)] e^{i\rho_n z} \sin \gamma z . \quad (5)$$

Находя составляющие поля с помощью (5) и подставляя их в формулу (4), получим

$$R_{св} = \frac{\omega\mu [A_n J_{\rho n}(xr) + B_n N_{\rho n}(xr)]^2 \sin^2 \gamma z}{\left(\frac{p}{r}\right)^2 \frac{l_{ш}}{2} \sum_{n=-\infty}^{n=+\infty} \rho_n \int_{R_1}^{R_2} \frac{[A_n J_{\rho n}(xr) + B_n N_{\rho n}(xr)]^2}{r} dr} . \quad (6)$$

Для того, чтобы подсчитать  $R_{св}$ , необходимо определить постоянные  $A_n$  и  $B_n$  и вычислить интеграл, входящий в формулу (6).

Методика определения постоянных  $A_n$  и  $B_n$  заключается в том, что находят комплексные мощности на границах I—II и III—IV.

Приравнявая эти мощности (метод «сшивания»), можно получить уравнения, определяющие искомые постоянные. В дальнейшем, ввиду большой сложности формулы (6), определим  $R_{св}$  для случая волновода,

нагруженного однородной гребенкой. В этом случае достаточно определить только отношение постоянных  $\frac{A}{B}$ . Исходным выражением, полученным методом «сшивания», для определения постоянных будет

$$\frac{\frac{A}{B} \dot{I}_p(xR_1) + \dot{N}_p(xR_1)}{\frac{A}{B} \dot{I}_p(xR_2) + \dot{N}_p(xR_2)} = - \frac{\frac{A}{B} I_p(xR_1) + N_p(xR_1)}{\frac{A}{B} I_p(xR_2) + N_p(xR_2)}. \quad (7)$$

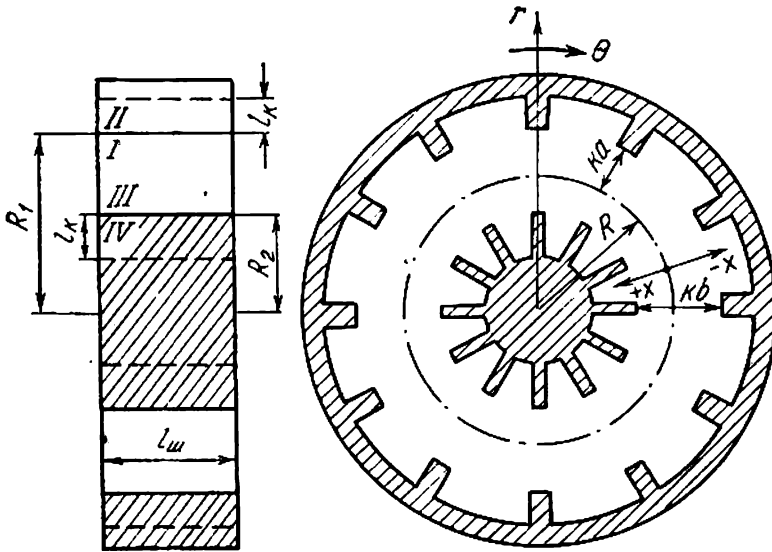


Рис. 3.

Поскольку  $\frac{A}{B}$  зависит от цилиндрических функций, входящих в формулу (7), которые по-разному определяются с помощью асимптотических представлений в областях Фока и Дебая [6], величину  $\frac{A}{B}$  и  $R_{св}$  необходимо определить как для области Фока, так и для области Дебая.

#### Сопротивление связи в области Дебая

Заменяя в формуле (7) цилиндрические функции и их производные асимптотическими представлениями для области Дебая, получим

$$\frac{A}{B} = 2e^{2\epsilon R} \left[ \pm \sqrt{\left( \frac{av^2}{R(\nu^2-1)} \operatorname{sh} 2\kappa a \sqrt{\nu^2-1} \right)^2 + 1} - \frac{av^2 \operatorname{sh} 2\kappa a \sqrt{\nu^2-1}}{R(\nu^2-1)} \right] \quad (8)$$

или в сокращенной записи

$$\frac{A}{B} = 2e^{\epsilon R} F(\nu). \quad (9)$$

Данное приближенное выражение взято при соотношениях между  $\nu$ ,  $kR$ ,  $\kappa a$ , полученных ранее в работах [3, 8].

Вычислим интеграл формулы (6). Используя асимптотические представления цилиндрических функций и их производных, а также вспомогательные соотношения

$$\xi_r = \xi_R \pm \alpha x \sqrt{\nu^2 - 1}; \quad \text{th } \alpha_r = \text{th } \alpha_R \left[ 1 \pm \frac{x}{R \sqrt{\nu^2 - 1}} \right];$$

$$r = R - x; \quad \xi_R = \rho(\alpha_R - \text{th } \alpha_R); \quad \frac{\rho}{\alpha R} = \text{ch } \alpha_R,$$

где  $\rho$  — азимутальный коэффициент распространения для случая  $ka \ll kR$ , можно получить следующее значение интеграла формулы (6):

$$\int_{R_2}^{R_1} \left( \frac{A}{B} \right)^2 \frac{I_p^2(\alpha r)}{r} dr = \left( \frac{A}{B} \right)^2 \frac{e^{-2\xi_R} \text{sh } 2\alpha a \sqrt{\nu^2 - 1}}{R 2\pi \rho \text{th } \alpha_R} \times$$

$$\times \left\{ \frac{1}{\alpha \sqrt{\nu^2 - 1}} + \frac{\nu^2 - 2}{2\alpha^2 R (\nu^2 - 1)^2} \left[ 1 - 2\alpha a \sqrt{\nu^2 - 1} \text{cth } 2\alpha a \sqrt{\nu^2 - 1} \right] \right\}; \quad (10)$$

$$\int_{R_2}^{R_1} 2 \frac{A}{B} \frac{I_p(\alpha r) N_p(\alpha r)}{r} dr = -\frac{4A}{B} \frac{a}{\pi \rho \text{th } \alpha_R}; \quad (11)$$

$$\int_{R_2}^{R_1} \frac{N_p^2(\alpha r)}{r} dr = \frac{2e^{2\xi_R} \text{sh } 2\alpha a \sqrt{\nu^2 - 1}}{\pi \rho \text{th } \alpha_R R} \left\{ \frac{1}{\alpha \sqrt{\nu^2 - 1}} + \frac{\nu^2 - 2}{2\alpha^2 R (\nu^2 - 1)^2} \times \right.$$

$$\left. \times [2\alpha a \sqrt{\nu^2 - 1} \text{cth } 2\alpha a \sqrt{\nu^2 - 1} - 1] \right\}. \quad (12)$$

Окончательное выражение для  $R_{\text{св}}$ :

$$R_{\text{св}} = \frac{\omega \mu (\nu^2 - 1)^{3/2} [F(\nu) + 1]^2}{\nu^3 \alpha^2 [F^2(\nu) f_1 - F(\nu) A \alpha a \sqrt{\nu^2 - 1} + f_2(\nu)] \frac{l_{\text{ин}}}{2}}. \quad (13)$$

В данной формуле

$$f_1(\nu) = \text{sh } 2\alpha a \sqrt{\nu^2 - 1} \left[ 1 + \frac{\nu^2 - 2}{2\alpha R (\nu^2 - 1)^{3/2}} - \frac{(\nu^2 - 2) a}{R (\nu^2 - 1)} \text{cth } 2\alpha a \sqrt{\nu^2 - 1} \right]$$

$$f_2(\nu) = \text{sh } 2\alpha a \sqrt{\nu^2 - 1} \left[ 1 - \frac{(\nu^2 - 2) a \text{cth } 2\alpha a \sqrt{\nu^2 - 1}}{R (\nu^2 - 1)} - \frac{\nu^2 - 2}{2\alpha R (\nu^2 - 1)^{3/2}} \right].$$

### Сопrotивление связи в области Фока

Для данной области значений  $\nu$  и  $kR$  при определении  $\frac{A}{B}$  из уравнения (7) необходимо заменить цилиндрические функции асимптотическими представлениями, соответствующими области Фока, тогда получим

$$\frac{A}{B} = \frac{u(t_0)}{4v(t_0)} F_1(\nu).$$

В свою очередь

$$F_1(\nu) = C \left[ 1 \pm \sqrt{1 + \frac{16D}{C}} \right],$$

где

$$C = \frac{2 \frac{v(t_0)}{u(t_0)} [\dot{u}(t_{\text{гп}}) + \dot{u}(t_0) e^{-\alpha x b}] + 2[\dot{v}(t_{\text{гп}}) + \dot{v}(t_0) e^{\frac{\beta x b}{2}}]}{\dot{v}(t_{\text{гп}}) + \dot{v}(t_0) e^{\frac{-\alpha x b}{2}}},$$

а

$$D = \frac{v(t_0)}{u(t_0)} \left[ \frac{\dot{u}(t_{гр}) + \dot{u}(t_0) e^{\frac{\beta x b}{2}}}{\dot{v}(t_{гр}) + \dot{v}(t_0) e^{\frac{-\alpha x b}{2}}} \right].$$

В данных выражениях  $u(t)$  и  $v(t)$ ,  $\dot{u}(t)$  и  $\dot{v}(t)$  — функции Эйри и ее производные от аргументов  $t_0$  и  $t_{гр}$ , соответствующих значению функции

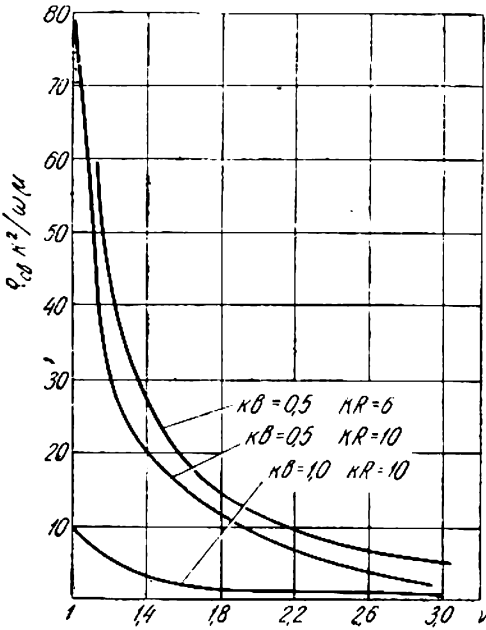


Рис. 4.

на верхней и нижней гребенках (рис. 2). В отличие от области Дебая, начало отсчета  $x$  находится на расстоянии  $R_1$ , т. е. на границе вогнутой гребенки. Коэффициенты  $\alpha$  и  $\beta$  определяются так же, как в работе [8]. Значение их можно найти по формулам

$$\alpha = \frac{2 \ln \left[ \frac{v(t_{гр})}{v(t_0)} \right]}{kb};$$

$$\beta = \frac{2 \ln \left[ \frac{u(t_{гр})}{u(t_0)} \right]}{kb}.$$

При вычислении интегралов функции Эйри аппроксимируем в виде экспонент, причем требуем, чтобы аппроксимирующая экспонента была равна функции Эйри в двух точках на расстояниях  $R_1$  и  $R_2$ . При данных условиях  $R_{св}$  в области Фока имеет вид

$$R_{св} = \frac{\omega \mu \left[ \frac{\dot{u}(t_x)}{u(t_0)} - \frac{1}{4} F_1(\nu) \frac{\dot{v}(t_x)}{v(t_0)} \right]^2 \left( 1 - \frac{x}{R_1} \right)^{2/3}}{\sqrt{3} x^2 \frac{t_{ш}}{2} \left( \frac{x R_1}{2} \right)^{2/3} \left[ \frac{F_1(\nu)}{16} P_1 - \frac{1}{2} F_1(\nu) P_2 + P_3 \right]}, \quad (14)$$

где  $t_x$  — значение аргумента функции Эйри на расстоянии  $x$  от начала координат.

Таким образом, можно согласно формуле (14) вычислить сопротивление связи в любой точке. Коэффициенты  $P_1$ ,  $P_2$ ,  $P_3$  имеют вид

$$P_1 = \frac{1 - e^{-\alpha x b}}{\alpha} + \frac{5}{3 \alpha^2 x R_1} [1 - (\alpha x b + 1) e^{-\alpha x b}];$$

$$P_2 = \frac{1 - e^{-\frac{x b}{2}(\alpha - \beta)}}{\frac{\alpha - \beta}{2}} + \frac{5}{3 x R_1 \left( \frac{\alpha - \beta}{2} \right)^2} \left[ 1 - e^{-\frac{x b}{2}(\alpha - \beta)} \left[ 1 + \frac{x b (\alpha - \beta)}{2} \right] \right];$$

$$P_3 = \frac{e^{\beta x b} - 1}{\beta} + \frac{5}{3 \beta^2 x R_1} [e^{\beta x b} (\beta x b - 1) + 1];$$

$$\nu = \frac{P}{x R_1}.$$

По формулам (13), (14) построен ряд кривых для различных  $\nu$ ,  $kb$ , позволяющих выяснить зависимость  $R_{св}$  от этих величин. Для упрощения расчетов при построении графиков рассматривался волновод без боковых стенок. При наличии боковых стенок формулы останутся без изменения, но  $k$  необходимо заметить на  $\kappa$ , а

$$\kappa = k \sqrt{1 - \left(\frac{\lambda}{2l_{III}}\right)^2}.$$

На рис. 4 даны графики, характеризующие зависимость  $R_{св}$  от величины  $\nu$ . На рис. 5 показана зависимость изменения  $R_{св}$  от радиуса изгиба  $kbR$ . Для сравнения с прямым волноводом по оси ординат отложено отношение сопротивлений прямого и изогнутого волноводов. Из графиков можно сделать также вывод о характере влияния на величину  $R_{св}$  высоты волновода. Таким образом, можно сделать следующие выводы:

1. По формулам (3), (13), (14) можно рассчитать  $R_{св}$  при заданных  $\nu$ ,  $kbR$ ,  $ka$  в областях Фока и Дебая с точностью, достаточной для инженерных расчетов.
2. Изгиб волновода (рисунки 4, 5) приводит к вредному эффекту — уменьшает  $R_{св}$ .
3. Изгиб волновода сильно сказывается при  $kb > 1,0$ . При малых высотах волновода —  $kb < 0,5 - 1,0$  изгиб практически не влияет на  $R_{св}$ .
4. Сопrotивление связи сильно зависит от величины замедления системы. Чем меньше  $\nu$ , тем больше сказывается влияние изгиба, и наоборот.

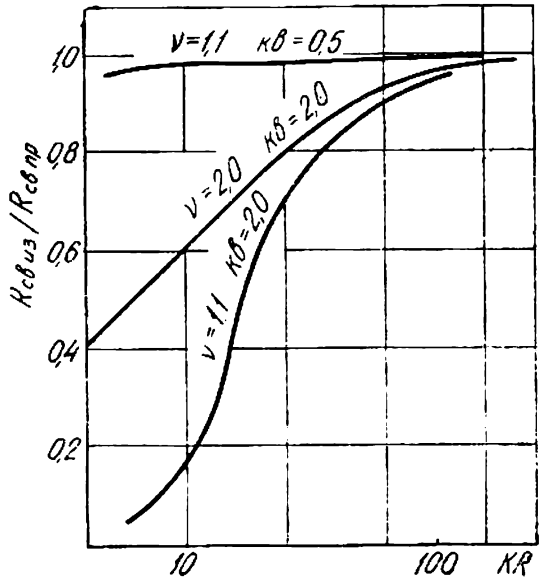


Рис. 5.

#### ЛИТЕРАТУРА

1. А. А. Воробьев. Некоторые вопросы теории циклических ускорителей. Изв. вузов СССР, «Электромеханика», 1952, 2, № 5, 106; 1958, 2, № 11, 18.
2. А. Н. Диденко. Распространение электромагнитных волн в изогнутых нагруженных волноводах. «Радиотехника и электроника», 1955, 4, № 2, 172.
3. П. Р. Череп. Изгибы волноводов с поверхностной волной. Автореф. канд. дисс., Киев, 1958.
4. Б. Н. Морозов. Некоторые вопросы распространения электромагнитных волн в изогнутых волноводах, нагруженных периодическими структурами. Изв. вузов СССР, «Радиотехника», 1960, 3, № 4, 493.
5. Е. С. Коваленко, В. И. Шиманский. Синфазные волны в диафрагмированном волноводе. Изв. вузов СССР, «Радиотехника», 1960, № 2, 153.
6. В. А. Фок. Дифракция радиоволн вокруг земной поверхности, М., Изд. АН СССР, 1964.
7. Дж. Пирс. Лампа с бегущей волной, М., изд-во «Сов. радио», 1952.
8. Ю. А. Дейнека. Сопrotивление связи равномерно изогнутых замедляющих систем. Изв. вузов СССР, «Радиотехника», 1964, 7, № 4, 532.